

### 1. MISE EN CONTEXTE

La figure 1 représente le système d'asservissement mécanique de vitesse de l'arbre de puissance d'un réacteur d'avion. Ce dispositif, mis au point au début de l'ère de la propulsion à réaction, a été utilisé jusqu'à une époque récente. La technologie actuelle lui préfère une servovalve commandée électriquement.

Le pilote en agissant sur la manette de commande solidaire du levier **1** déplace le tiroir du distributeur **5**. Ce distributeur pilote la position de la tige de vérin **7** qui commande l'arrivée du kérosène. Le régulateur permet le contrôle de la vitesse de rotation de l'arbre du réacteur, à l'aide d'un dispositif composé de 2 masselottes **4** et **4'**, et agit également sur le tiroir du distributeur.

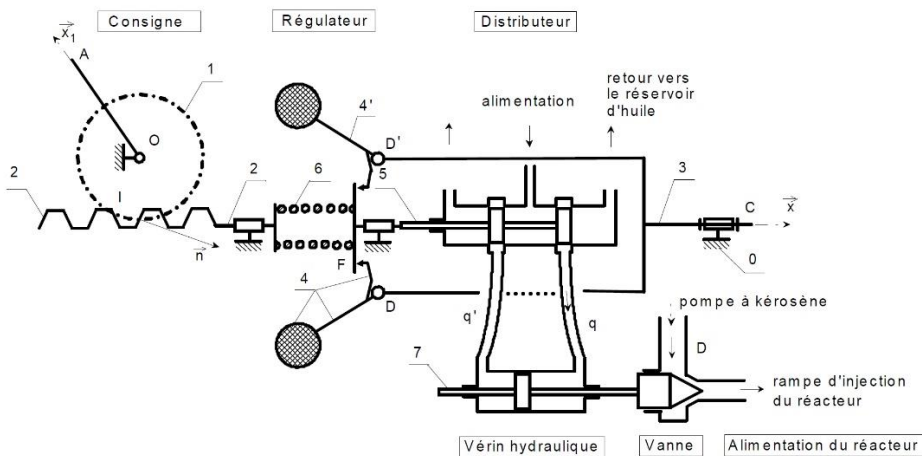


Figure 1 - Modèle global de la commande de réacteur

#### Consigne

L'utilisateur impose la commande en fixant la position angulaire du levier **1** qui est solidaire d'un pignon de rayon primitif  $R_1$ . Ce dernier est en liaison pivot d'axe ( $O, \vec{z}$ ) avec le bâti **0**. La transmission de puissance entre le pignon **1** et la crémaillère **2** s'effectue sans frottement avec un angle de pression  $\alpha$ . Cela implique que l'action de **1** sur **2** est un glisseur en  $I$  de résultante  $\vec{F}_{1 \rightarrow 2} = F_{12} \cdot \vec{n}$  avec  $\alpha = (\vec{n}, \vec{x})$  ( $\alpha$  positif).

L'action de l'utilisateur sur le levier **1** est modélisée à l'aide d'un glisseur en  $A$  de résultante  $\vec{F}_{ext \rightarrow 1} = -F_{ext1} \cdot \vec{x}$

#### Paramétrage

$$\begin{array}{lll} \text{Solide 1 : levier + pignon} & \theta_1 = (\vec{x}, \vec{x}_1) & \overrightarrow{OA} = l_1 \cdot \vec{x}_1 \\ \text{Solide 2 : crémaillère} & \overrightarrow{IB} = x_2(t) \cdot \vec{x} & \overrightarrow{IO} = R_1 \cdot \vec{y} \end{array}$$

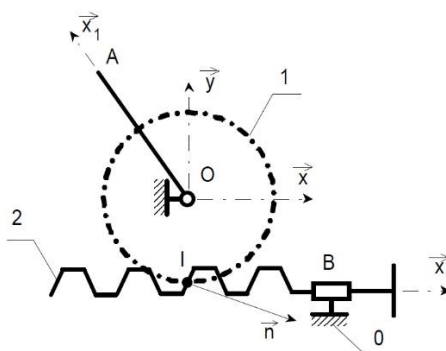


Figure 2 - Modèle de la partie "Consigne"

## Régulateur

Pour des raisons d'équilibrage dynamique les masselottes sont au nombre de deux et disposées symétriquement par rapport à l'axe de rotation du solide 3. Les masselottes 4 et 4', appuient sur le tiroir 5 sur lequel s'exerce également l'action mécanique d'un ressort de compression 6. Cet ensemble forme le comparateur du système bouclé.

L'action de 2 sur 5 par l'intermédiaire du ressort 6 est un glisseur en B de résultante  $\vec{F}_{res:2 \rightarrow 5} = F_{25} \cdot \vec{x}$  avec

### Paramétrage

Axe 3	$\theta_3(t) = (\vec{y}, \vec{y}_3)$	$\omega_3(t) = \dot{\theta}_3(t)$	$\overrightarrow{DC} = R_3 \cdot \vec{y}_3$
Tiroir 5	Position : $x_5(t)$	Masse négligée	
Ressort 6	$\overrightarrow{IB} = x_2(t) \cdot \vec{x}$	Raideur : $k$	

Ressort non sollicité quand  $x_2(t) = x_5(t)$

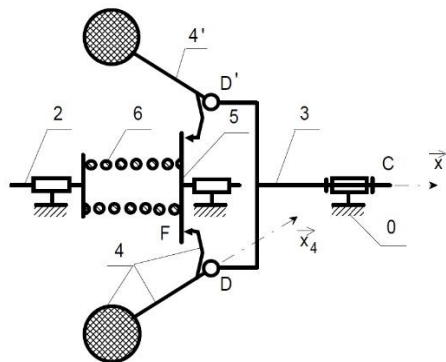


Figure 3 - Modèle de la partie "Régulateur"

## Circuit hydraulique

La position du tiroir 5 du distributeur détermine le débit hydraulique du distributeur alimentant le vérin. La tige 7 du vérin est en liaison encastrement avec le boisseau de la vanne qui fixe le débit de kérosène alimentant le réacteur.

### Paramétrage

Tige 7	Position : $x_7(t)$
Vérin	Section utile : $S$
	Débit : $q(t)$

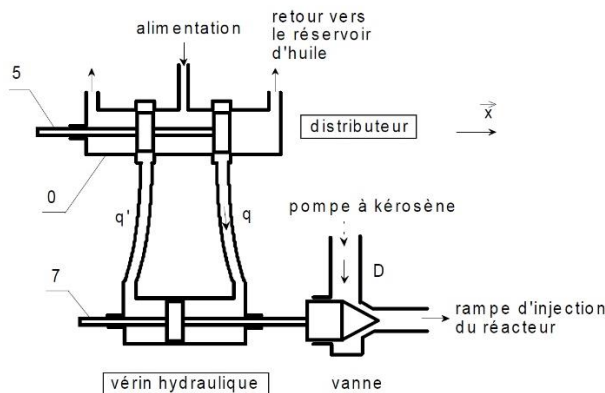


Figure 4 - Modèle du circuit hydraulique

## 2. MODELISATION DU SYSTEME BOUCLE

**Objectif :** Déterminer un modèle fonctionnel (schéma-bloc) pour simuler le comportement de la transmission.

On fournit les équations suivantes :

- Equations de la dynamique :
  - Isolement de 1 :

$$0 = l_1 \cdot F_{ext1}(t) \cdot \sin \theta_1(t) - R_1 \cdot F_{21}(t) \cdot \cos \alpha \quad (1)$$

- Isolement de 5 :

$$0 = F_{45}(t) - \frac{F_{65}(t)}{2} \quad (2)$$

- Isolement de 4 :

$$2 \cdot C_1 \cdot \omega_{3/0}(t)^2 = 2 \cdot L_F \cdot F_{45}(t) \cdot \cos \theta_4 \quad (3)$$

- Equation cinématique du pignon-crémaillère :

$$x_2(t) = R_1 \cdot \theta_1(t) \quad (4)$$

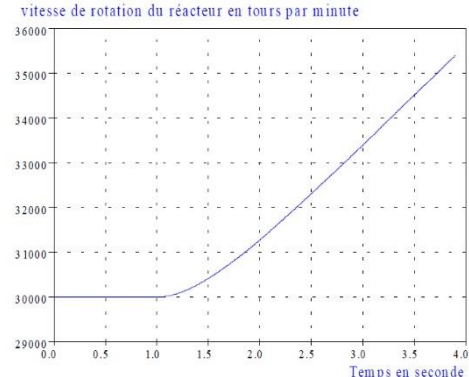
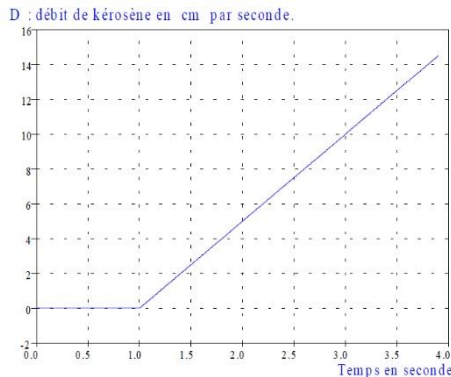
- Loi de comportement du ressort :

$$F_{65}(t) = -k \cdot [x_5(t) - x_2(t)] \quad (5)$$

- Equation hydraulique (conservation du débit) :

$$q(t) = S \cdot \frac{d x_7(t)}{dt} \quad (6)$$

- Loi de comportement du réacteur :



Grâce aux courbes ci-dessus, on obtient :

$$\frac{\delta \Omega_{réacteur}(p)}{\delta D(p)} = \frac{0,047}{1 + 0,5 \cdot p}$$

- Loi de comportement du distributeur :

$$\frac{\delta Q(p)}{\delta X_5(p)} = \frac{K_2}{1 + \tau_2 \cdot p}$$

### 1.1 Tracer le graphe d'isolement correspondant à la figure 1.

On cherche à compléter le schéma schéma-bloc (schéma fonctionnel) suivant avec les fonctions de transfert de  $H_1(p)$ ,  $H_3(p)$  et  $H_7(p)$  :

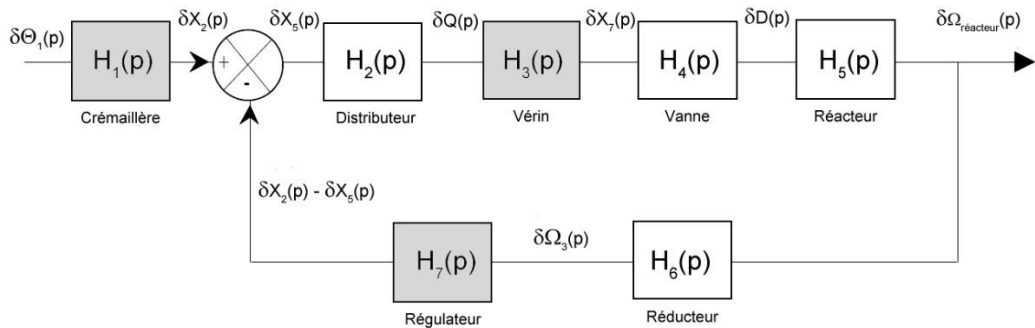


Figure 5 - Schéma-bloc de la commande de réacteur

### 1.2 Le schéma-bloc de la figure 5 représente-t-il un asservissement ? Pourquoi ?

A terme, on souhaite réaliser un asservissement en vitesse du dispositif. La consigne serait la vitesse angulaire souhaitée du réacteur. Le schéma-bloc de la figure 5 sera donc intégrer à un schéma-bloc plus complet comportant notamment un capteur de vitesse et un correcteur.

### 1.3 Utiliser l'équation (4) pour déterminer $H_1(p)$ .

### 1.4 Utiliser l'équation (6) pour déterminer $H_3(p)$ .

L'équation (3) n'est pas linéaire. Si on veut pouvoir l'intégrer dans le schéma-bloc d'un asservissement, il est nécessaire de linéariser l'équation avant de passer dans le domaine opérationnel.

Pour ce faire, la modélisation est réalisée autour d'un point de fonctionnement pour lequel :

$$\begin{array}{ll} x_2(t) = x_{20} + \delta x_2(t) & \theta_1(t) = \theta_{10} + \delta\theta_1(t) \\ x_5(t) = x_{50} + \delta x_5(t) & \omega_3(t) = \omega_0 + \delta\omega_3(t) \\ x_7(t) = x_{70} + \delta x_7(t) & \theta_4(t) = (\vec{y}_3, \vec{y}_4) = cte \end{array}$$

### 1.5 Linéariser l'équation (3).

### 1.6 Utiliser les équations (2), (3) linéarisée et (5) pour déterminer $H_7(p)$ .

Les fonctions de transfert  $H_4(p)$  et  $H_6(p)$  sont des gains purs de valeurs respectives  $K_4$  et  $K_6$ .

### 1.7 Reproduire le schéma-bloc de la figure 5 en remplaçant les fonctions de transfert $H_i(p)$ par leur expression.